

# عملکرد فشاری ستون‌های کوتاه فولادی محاط شده در بتن مسلح حاوی الیاف فولادی

آرمن معمارزاده<sup>۱</sup>، مهدی نعمت زاده<sup>۲\*</sup>، محسن احمدی<sup>۳</sup>

۱- دانشجوی کارشناسی ارشد، دانشگاه مازندران

۲- دانشیار گروه عمران، دانشگاه مازندران

۳- استادیار گروه عمران، دانشگاه آزاد اسلامی بابل

\*m.nematzadeh@umz.ac.ir

تاریخ پذیرش: ۹۹/۱۲/۲۷

تاریخ دریافت: ۹۹/۷/۹

## چکیده

امروزه استفاده از ستون‌های مرکب بتن و فولاد به سرعت در حال گسترش است. ازین‌رو اهمیت مطالعه روی عملکرد فشاری این نوع ستون‌ها، عوامل مؤثر بر آن‌ها و ارائه راهکارهایی به منظور ارتقا عملکرد این ستون‌ها، بسیار مهم تلقی می‌شود. ازین‌رو، در این مطالعه به بررسی ظرفیت باربری محوری ستون‌های فولادی محاط شده در بتن الیافی (SRFC) پرداخته شده است. درمجموع ۳۶ نمونه ستون کوتاه فولادی محاط شده در بتن الیافی ساخته شده و تأثیر متغیرهای شامل نوع شکل پروفیل فولادی (اعم از H و C شکل)، کسر حجمی الیاف فولادی (٪۰/۰، ٪۷۵ و ٪۱۲۵) و فاصله خاموت‌ها (۴۰، ۶۵ و ۱۳۰ میلی‌متر) روی عملکرد فشاری این ستون‌ها بررسی شد. نتایج نشان داد که ظرفیت محوری ستون‌های فولادی محاط شده در بتن از شکل فولاد داخل آن تأثیر می‌پذیرد. بدین‌صورت که ظرفیت محوری ستون‌ها با مقطع H شکل بیشتر از ستون‌ها با مقطع C شکل بود که علت آن محصورشدگی بیشتر در این نوع مقاطع می‌باشد. همچنین، افزایش درصد الیاف فولادی در بتن این نوع ستون‌ها می‌تواند علاوه بر افزایش شکل‌پذیری، ظرفیت محوری ستون را تا ۶ درصد افزایش دهد. علاوه بر این، فاصله خاموت‌ها تأثیر بسیار چشمگیری روی ظرفیت محوری این نوع ستون‌ها دارد به طوری که با افزایش فاصله خاموت‌ها ظرفیت محوری ستون‌ها به شدت کاهش می‌یابد.

**واژه‌های کلیدی:** ستون‌های مرکب فولادی- بتونی، محصورشدگی، ظرفیت باربری محوری، بتن الیافی، شکل‌پذیری.

## ۱- مقدمه

در سال‌های اخیر، ستون‌های مرکب به واسطه ظرفیت باربری بالا، قابلیت شکل‌پذیری و ظرفیت جذب انرژی زیاد به طور گسترده‌ای

نتایج شده است [8]. در پژوهشی که توسط هانگ و همکاران [9] روی رفتار ستون‌های SRC با مقاومت بالا انجام شد، یک نوع بتن با مقاومت فشاری ۲۸ روزه ۱۵۰–۱۰۰ مگاپاسکال برای کاربرد در ستون کامپوزیت فولادی استفاده شد و نتایج حاصل از آن نشان داد ستون‌های مرکب ساخته شده، دارای شکست ترد و انفجاری هستند. در سال ۲۰۱۵، لی کایون و همکاران [10] در پژوهشی به مطالعه روی رفتار مکانیکی ستون‌های مرکب فولادی محاط در بتن در مقایسه با ستون‌های بتی مسلح تحت بارگذاری استاتیکی و همچنین بارگذاری چرخه‌ای پرداختند که نتایج نشان می‌دهد ظرفیت باربری و شکل‌پذیری ستون‌های SRC تحت بارگذاری استاتیکی به طور چشمگیری بیشتر از ستون‌های بتی مسلح است و همچنین تحت بارگذاری چرخه‌ای، نمودارهای هیسترزیس ستون SRC برتر از ستون بتی مسلح است. رو و لیو [11] ۸ ستون کوتاه تحت بارمحوری و بارلرزهای روی ستون‌های SRC معمولی و SRC محصورشده با لوله، به طور همزمان قرار دادند که نتایج آزمایش نشان داد که ستون‌های کوتاه معمولی SRC دچار شکستگی بشی شدند و رفتار بسیار تردی از خود نشان دادند در حالی که ستون‌های SRC محصورشده با لوله به دلیل اثر محصورشدنگی زیاد، عملکرد بسیار خوبی را از خود نشان دادند.

بسیاری از کارهای پژوهشی، ستون‌های کامپوزیتی با بخش فولاد سازه‌ای H شکل را تأیید کرده‌اند. با این حال، اشکال دیگر بخش فولادی مانند متقطع یا T شکل به طورکلی در ساختمان‌های کامپوزیت استفاده می‌شود. در سال ۲۰۰۶، توسط لی و چن [12]، یک مدل تحلیلی برای پیش‌بینی ظرفیت محوری ستون فولادی مدفعون در بتن ارائه شد در این مدل تحلیلی، دو نوع رفتار برای آرماتورهای طولی و مقطع فولادی ارائه شد. در مدل سازی عددی انجام شده توسط نرم‌افزار آباکوس، از رابطه‌های مندر برای لحاظ نمودن اثر محصورشدنگی استفاده شد. همچنین میرزا و شابک [13] در پژوهش‌های خود نشان داده‌اند که قسمت‌های محصورشده با تبدیل قسمت سهمی به قسمت مستطیلی می‌تواند ساده شود. همچنین پژوهش‌های محدودی روی اثر الیاف بر مقاومت بتن انجام شده است. این مقاله یک مطالعه جامع در مورد استفاده از الیاف در ستون‌های SRC است و تأثیر الیاف بر محصورشدنگی این نوع ستون‌ها را بررسی می‌کند. هدف اصلی این پژوهش استفاده از الیاف برای بهبود کارایی

مورد استفاده قرار گرفته‌اند. سازه‌های بلند با ستون‌های فولادی، عموماً دارای تغییر شکل‌های جانبی هستند. از سوی دیگر، استفاده از بتن آرمه به تنها یکی در ستون‌های ساختمان‌های بلند، در طبقات پایین، فضای بیشتری را اشغال نموده و دارای وزن بیشتری است و به علت ترد و شکننده بودن بتن، سازه حاصل دارای شکل‌پذیری کمتری بوده و در بارهای لرزه‌ای، افت مقاومت در سازه به وجود می‌آید. ترکیب این دو مصالح می‌تواند یک سیستم مؤثر و کارآمدتر نسبت به استفاده مجزا از آن‌ها را تشکیل دهد [2, 1]. ستون‌های مرکب از لحاظ محل قرارگیری بتن و فولاد به دو گروه کلی تقسیم‌بندی می‌شوند که با نام‌های مقاطع فولادی محاط در بتن و مقاطع توخالی پرشده با بتن شناخته می‌شوند. ستون‌های فولادی تقویت‌شده بتی (SRC) به عنوان نوعی از ستون‌های کامپوزیت می‌توانند مزایای قابل توجهی نسبت به ستون‌های فولادی داشته باشند. از جمله این مزایا می‌توان به مقاومت محوری و مقاومت در برابر حریق این نوع ستون‌ها، با توجه به پوششی بتی روی فولاد اشاره کرد [3-5]. ستون‌های بتی توسط آرماتورهای تقویتی به دو ناحیه تقسیم می‌شوند. ناحیه اول هسته بتی محصورشده مؤثر داخلی و ناحیه دوم بتن محصورشده غیر مؤثر خارجی که شامل بتن پوشن و قسمت سهمی بتن میان میلگردهای تقویتی است. در ستون‌های مرکب فولادی با روکش بتن محصورشدنگی بتن به وسیله مقطع فولادی و میلگردهای تقویتی فراهم می‌شود. محصورشدنگی بتن به عوامل زیادی از جمله شکل مقطع فولادی، قطر، شبکه‌بندی، فاصله و تعداد آرماتورهای طولی و همچنین قطر و فاصله آرماتورهای عرضی بستگی دارد، علاوه بر این عوامل تنش تسليیم مقطع فولادی و آرماتورهای تقویتی مانند مقاومت فشاری بتن روی محصورشدنگی مؤثر است [6, 7]. ستون مرکب بر اساس نواحی محصورشدنگی به سه قسمت اصلی تقسیم می‌شود و همانطور که در شکل (۱) مشخص است، متشکل از بتن با محصورشدنگی زیاد، بتن با محصورشدنگی جزئی و بتن محصور نشده است.

پژوهش‌های زیادی روی اعضای مرکب انجام گرفته است که نتایج نشانگر رفتار بسیار مطلوب آن‌ها بوده است که به توسعه ضوابط طراحی فعلی کمک شایانی نموده است. مطالعات آزمایشگاهی انجام شده روی اعضای مرکب و همچنین قاب‌های ساخته شده از آن‌ها منجر به تهیی پایگاه داده‌ای وسیعی برای ارزیابی و اعتبارسنجی

پس از تحمیل بار حداقل تا شکست کامل، زمان بیشتری را سپری می‌کند.

بتن نسبت به بتن معمولی (بدون الیاف) در رفتار پس از اوج و حتی تأثیر آن روی مقاومت فشاری است. ازانجایی که الیاف شکل پذیری سازه را پس از اوج بار، افزایش می‌دهد درنتیجه سازه (در اینجا ستون) شکل ۱. نواحی بتن با محصورشدن جزئی و بتن محصور نشده در مقاطع مرکب

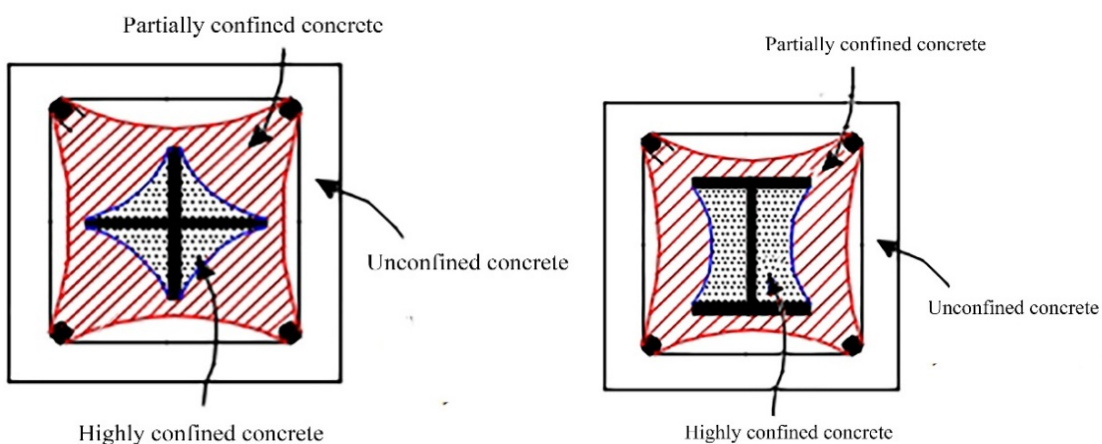


Fig. 1. Regions for unconfined, partially confined, and highly confined concrete in various composite cross sections

برای ساخت پروفیل فولادی H شکل از ۵۴ عدد صفحاتی به ابعاد  $4 \times 60 \times 300$  میلی‌متر و جوش دادن این صفحات به شکل H استفاده شده است و همچنین برای ساخت پروفیل فولادی C شکل از دو سری ورق به ابعاد مختلف و اتصال آن‌ها به وسیله دستگاه جوش به یکدیگر استفاده شده است (۱۸ عدد صفحاتی به ابعاد  $4 \times 70 \times 300$  میلی‌متر و ۳۶ عدد صفحاتی به ابعاد  $4 \times 30 \times 300$  میلی‌متر). در چهارگوشه هر یک از ستون‌ها ۱ میلگرد طولی  $\phi 10$  قرار داده شده است و برای خاموت‌ها از میلگرد  $\phi 8$  استفاده شده است. تنش تسلیم و تنش نهایی پروفیل‌ها و میلگردها با استفاده از آزمون‌های استاندارد اندازه‌گیری شد و مقدار آن برای پروفیل‌ها به ترتیب برابر  $253$  و  $371$  مگاپاسکال و برای میلگردها به ترتیب  $312$  و  $443$  مگاپاسکال است. جزئیات مقطع ستون‌ها در شکل (۲) نشان داده شده است.

## ۲-۲- طرح اختلاط

نسبت‌های طرح اختلاط بتن در نظر گرفته شده در این مطالعه برای حجم یک مترمکعب در جدول (۱) ارائه شده است. در این مطالعه، ۳ سری طرح اختلاط با نسبت آب به مواد سیمانی ثابت و برابر با  $0.85$  برای تمام طرح‌های اختلاط در نظر گرفته شد. درصد الیاف استفاده شده در این طرح به ترتیب برابر  $0.075$  و

پژوهش‌های زیادی به ستون‌های SRC اختصاص داده شده است و در این بین استفاده از پروفیل با اشكال مختلف اعم از پروفیل‌های متقارن و غیرمتقارن بسیار متداول بوده و استفاده از بتن به همراه الیاف فولادی در آن بسیار محدود است. ازین‌رو، نویسنده‌گان معتقد‌داند که نتایج این مطالعه می‌تواند بینش مناسبی برای مطالعات آینده در این زمینه فراهم نماید و برای پژوهشگران مفید باشد.

## ۲- برنامه آزمایشگاهی

### ۲-۱- مصالح مصرفی

در این مطالعه به منظور ساخت بتن استفاده شده ستون‌ها، از سیمان پرتلند نوع I، و ریزدانه و درشت‌دانه شکسته طبیعی استفاده شد. بیشینه اندازه درشت‌دانه  $9/5$  میلی‌متر و وزن مخصوص آن  $2/65$  بود. همچنین ریزدانه نیز دارای وزن مخصوص و مدلول نرمی به ترتیب  $2/56$  و  $2/70$  بوده و برای رسیدن به کارایی مناسب به دلیل وجود الیاف در بتن از فوق روان کننده در درصد‌های مختلف، استفاده شد. الیاف استفاده شده از جنس فولادی و از نوع دو انتهای قلاب‌دار بود که دارای طول  $30$  میلی‌متر و قطر  $0.6$  میلی‌متر بود. مقاومت کششی الیاف فولادی طبق اطلاعات کارخانه  $1100$  مگاپاسکال بود. همچنین

۳۰ ثانیه مخلوط شد. سپس سیمان با پوزولان مورد استفاده (میکروسیلیس) ترکیب شده و به مخلوط اضافه شد تا به مدت ۱ دقیقه درون میکسر مخلوط شود. پس از آن مخلوطی از فوق روان کننده و آب که شامل آب لازم برای رساندن رطوبت سنگدانه‌ها به وضعیت اشباع با سطح خشک نیز هست، به‌آرامی درون میکسر ریخته شد و تا مدت ۲ دقیقه هم زده شد. در پایان، الیاف مورد استفاده طرح به مخلوط اضافه شد و تا ۲ دقیقه دیگر در داخل میکسر هم خورد. پس از اختلاط بتن، برای تعیین کارایی بتن تازه، آزمایش اسلام پ مخلوط‌های بتنی مطابق با [16] اندازه‌گیری شد که مقدار آن در جدول (۱) ASTM C143 ذکر شده است. به منظور ساخت و بتن‌ریزی این ستون‌ها ابتدا مقطع فولادی از پیش‌ساخته شده به اندازه ارتفاع ستون بریده شد. قبل از ریختن بتن در قالب، قطعه فولادی با دقت تنظیم شد تا این اطمینان حاصل شود که در مرکز قالب قرار دارد تا ستون در زمان بارگذاری، یکپارچه عمل کند. تمام ستون‌های کوتاه ساخته شده به صورت عمودی تا زمان آزمایش، مورد عمل آوری قرار گرفتند. این شرایط عمل آوری در محیط آزمایشگاه تا حداقل ۲۸ روز ادامه یافت. بعد از اتمام عمل آوری، نمونه‌های SRFC مورد آزمایش قرار گرفتند. برای شناسایی نمونه‌های SRFC جدول (۲)، حرف C و H نشان دهنده شکل مقطع است که به ترتیب معرف Cross shaped و H-shaped هستند. همچنین، حرف S معرف خاموت است و عدد پس از آن، نشان‌دهنده فواصل خاموت‌ها در ارتفاع ستون بر حسب سانتی‌متر است. در

۱/۲۵ است چراکه بیشتر کارآمدترین میزان الیاف موجود در بتن تا محدوده ۱/۵ درصد حجمی بوده [14] و بیشتر از این میزان الیاف، اثر چندانی روی بهبود عملکرد بتن ندارد [15].

جدول ۱. طرح اختلاط

Mix ID	Coarse Aggregates	Fine Aggregates	Cement	Water	Silica fume	Super Plasticizers	Steel Fiber	Slump (mm)
	(kg/m <sup>3</sup> )				(%)		(%)	
Pattern I	928	823	405	155	45	0.8	0	10
Pattern II	928	823	405	154	45	1	0.75	12
Pattern III	928	823	405	154	45	1.1	1.25	12

نسبت آب به کل مواد سیمانی در همه طرح‌ها برابر ۰/۲۵ می‌باشد.

Table 1. Mix Design

همچنین پروفیل استفاده شده در ستون‌ها در دو شکل H شکل و C شکل تهیه شده است. از دیگر متغیرهای استفاده شده در این آزمایش می‌توان به فاصله خاموت‌ها اشاره کرد که دارای ۳ طرح با فاصله‌های ۶۵، ۱۳۰ و ۴۰ میلی‌متر است که در حالت کلی به صورت نسبت خاموت برسی می‌شود. پارامتر نسبت خاموت با محاسبه نسبت فاصله خاموت (S) به عمق مقطع ستون (D) شناخته می‌شود. با توجه به فاصله خاموت‌ها، سه مقدار نسبت S/D برابر ۰/۹، ۰/۴ و ۰/۳ است.

### ۳-۲- تهیه نمونه‌ها

در این پژوهش تعداد ۳۶ نمونه به منظور آزمایش ظرفیت باربری ساخته شد. تمام نمونه‌ها دارای هندسه‌ی یکسان هستند. مقطع عرضی مربعی ستون‌ها برابر  $150 \times 150$  میلی‌متر به ارتفاع کلی ۳۰۰ میلی‌متر در نظر گرفته شد. برای ساخت بتن حاوی الیاف، ابتدا مصالح سنگی شامل شن و ماسه در درون میکسر به مدت

شکل ۲. جزئیات مقطع ستون

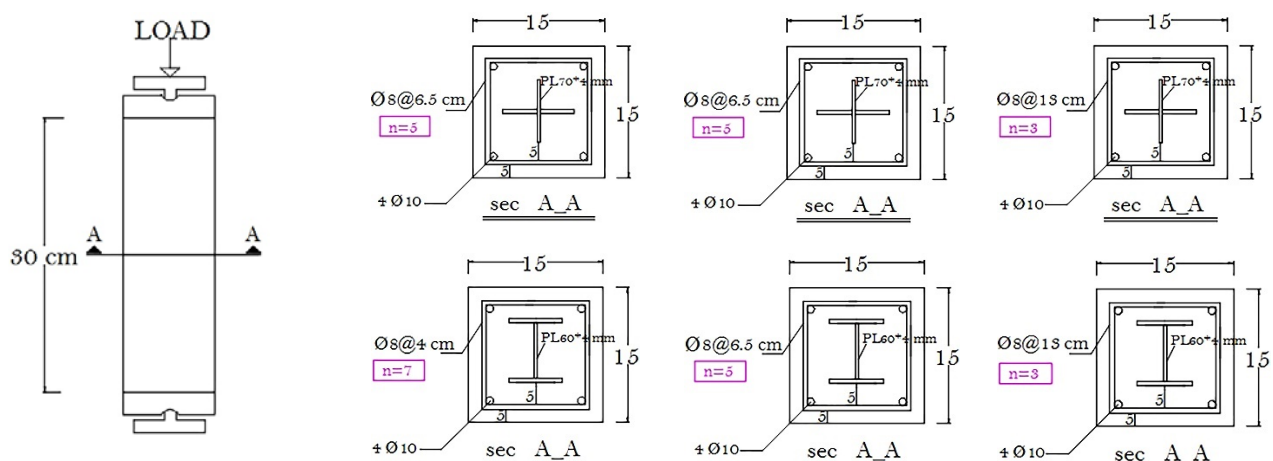


Fig. 2. Column Section Details

جابه‌جایی‌های نسیی اندازه‌گیری شده توسط LVDT، ۵۰ میلی‌متر است.

جدول ۲ ویژگی‌های هندسی و مواد نمونه‌های آزمایشی.

Specimen ID	$B \times D$ (mm)	$f_c$ (MPa)	$f_{ys}$ (MPa)	$f_{us}$ (MPa)	$f_{yr}$ (MPa)	L (mm)	S (mm)	$V_f$ (%)
C-S4F0	150 × 150	55.75	253	371	312	300	40	0
C-S4F0.75	150 × 150	56.85	253	371	312	300	40	0.75
C-S4F1.25	150 × 150	57.76	253	371	312	300	40	1.25
C-S6.5F0	150 × 150	53.12	253	371	312	300	65	0
C-S6.5F0.75	150 × 150	55.18	253	371	312	300	65	0.75
C-S6.5F1.25	150 × 150	56.09	253	371	312	300	65	1.25
C-S13F0	150 × 150	53.63	253	371	312	300	130	0
C-S13F0.75	150 × 150	56.39	253	371	312	300	130	0.75
C-S13F1.25	150 × 150	57.56	253	371	312	300	130	1.25
H-S4F0	150 × 150	54.49	253	371	312	300	40	0
H-S4F0.75	150 × 150	55.96	253	371	312	300	40	0.75
H-S4F1.25	150 × 150	56.43	253	371	312	300	40	1.25
H-S6.5F0	150 × 150	52.69	253	371	312	300	65	0
H-S6.5F0.75	150 × 150	55.90	253	371	312	300	65	0.75
H-S6.5F1.25	150 × 150	56.90	253	371	312	300	65	1.25
H-S13F0	150 × 150	53.12	253	371	312	300	130	0
H-S13F0.75	150 × 150	56.19	253	371	312	300	130	0.75
H-S13F1.25	150 × 150	57.01	253	371	312	300	130	1.25

**NOTE:** $f_c$  = Concrete compressive cylinder strength  $f_{ys}$  = Steel section yield strength $f_{us}$  = Steel section ultimate strength, $f_{yr}$  = yield strength of longitudinal reinforcement bars $V_f$  = Steel fiber volume percentage

Fig. 3. test setup

سرعت بارگذاری در حدود ۲۰ مگاپاسکال بر دقيقه به صورت یکنواخت بر کلیه نمونه‌های SRFC اعمال شد و بسته به ظرفیت بارگذاری نمونه‌ها، بارگذاری ۳ الی ۵ دقیقه به طول انجامید. بارگذاری تا زمانی که ظرفیت تغییر شکل LVDT به انتهای برسد، ادامه یافت تا به طور کامل رفتار فشاری نمونه‌ها پس از بار حداقل نیز مورد بررسی قرار گیرد.

### ۳- نتایج و بحث

#### ۱-۳ مشاهدات آزمایشگاهی و مدد شکست

الگوی گسیختگی نمونه‌های SRFC مطالعه شده تحت بار محوری در شکل (۴) نمایش داده است. در این مطالعه از آنجایی که در ابتدای بارگذاری، نمونه‌ها در مرحله الاستیک قرار دارند، ترک‌های آشکاری در ستون‌ها ملاحظه نشد. هنگامی که بارگذاری تا ۸۰ درصد Pu انجام گرفت (Pu نشان‌دهنده بار در نقطه اوج)، برخی از ترک‌های جزئی عمودی در نزدیکی میانه ارتفاع ستون رخ داد و هنگامی که بار تقریباً به ۹۰ درصد Pu رسید، این ترک‌های عمودی گسترش یافته و به تدریج ادامه پیدا

Table 2. Geometric and material properties of test specimens

نهایت، حرف F معرف الیاف بوده و عدد پس از آن نشانگر درصد الیاف در مخلوط بتن است. جدول (۲) اطلاعات کلی نمونه‌ها را نشان می‌دهد. به شکل کلی پارامترهایی که در این پژوهش به عنوان متغیر مورد توجه قرار گرفت شامل درصد الیاف استفاده شده، شکل مقطع فولادی ستون‌ها و نسبت خاموت است.

#### ۴- انجام آزمایش

در این پژوهش، نمونه‌های فشاری استوانه‌ای با توجه به استاندارد ASTM C39 [17] مورد آزمایش قرار گرفتند. همچنین، با توجه به عدم وجود استاندارد مشخص برای انجام آزمایش فشاری روی ستون‌های بتن مسلح SRFC، در این مطالعه از روش آزمایش به کار رفته در سایر پژوهش‌ها [18, 19] استفاده شد. دستگاه استفاده شده به منظور اعمال بارمحلوری روی تمامی نمونه‌ها جک بتن‌شکن هیدرولیکی با ظرفیت فشاری ۲۰۰۰ کیلو نیوتون بود. برای انجام آزمایش فشاری نمونه‌های SRFC، ۴ عدد LVDT برای اندازه‌گیری جابه‌جایی نسبی و کرنش در نظر گرفته شد که ۲ تایی از آن‌ها برای محاسبه کرنش محوری و ۲ تایی دیگر برای محاسبه کرنش جانبی استفاده شد. شکل (۳) تصویری از نمونه SRFC تحت بار محوری فشاری به همراه ابرازهای نصب شده روی آن را نمایش می‌دهد. ظرفیت

همچنین همانگونه که از شکل (۴.ب) مشخص است، افزایش فاصله خاموت در شکل شکست و تخریب ستونها بسیار تأثیرگذار است به گونه‌ای که با کاهش فاصله خاموتها

کرد. به دلیل شکستگی پوشش بیرونی بتن (کاور بتن) خرد شدن و پاشیدگی روکش بتونی به اطراف مشاهده شد و ظرفیت محوری نمونه‌ها کاهش یافت. در همه نمونه‌ها پیشرفت خرابی تا انتهای

شکل ۴. حالت‌های خرابی نمونه‌ها و لکه‌ی خرابی داخلی

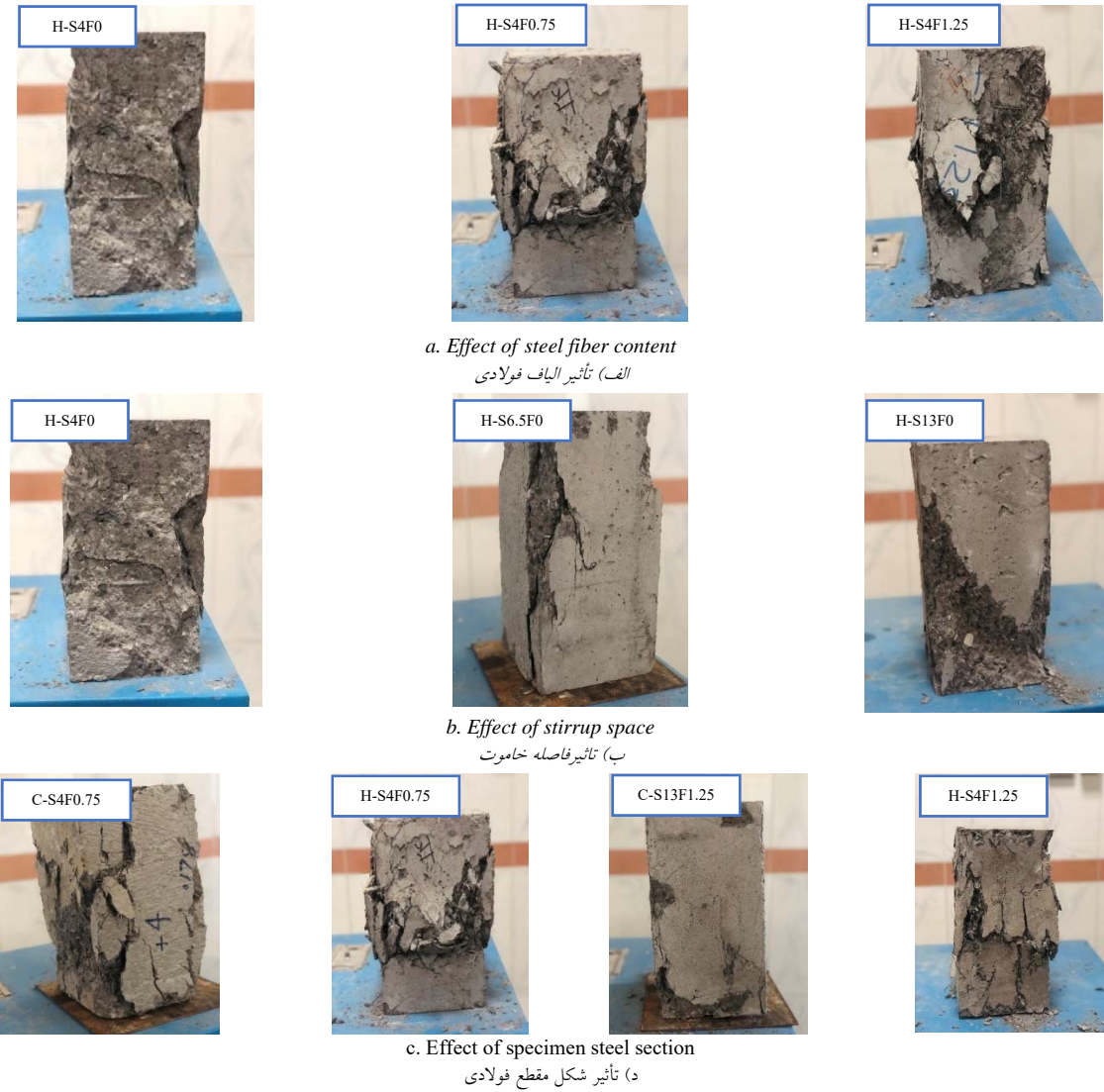


Fig. 4. Failure modes of the specimens and the internal failure pattern.

هسته بتونی به دلیل محصور شدن ایجاد شده توسط خاموت‌ها، از مقاومت بسیار بالایی برخوردار می‌شود و شکست ترد اتفاق نمی‌افتد. همچنین تفاوت شکست در نوع پروفیل استفاده شده در داخل ستون‌ها (شکل ۴.۴)، تغییرات محسوسی را به همراه نداشت و تنها در نمونه‌های C شکل، شکل نمونه پس از بارگذاری از خرد شدگی کمتری در مقایسه با نمونه‌های همتراز خود با پروفیل H شکل برخوردار است. مشاهدات بررسی شده در این مطالعه مشابه با نتایج به دست آمده توسط لای و همکاران

شکست نمونه تقریباً مشابه بود با این تفاوت که همانگونه که در شکل (۴.الف) نشان داده شده است، شکست نمونه‌های حاوی الیاف به دلیل پیوستگی بیشتر در ساختار بتن نسبت به نمونه‌های فاقد الیاف، بیشتر به صورت خرد شدن و جدا شدن از قسمت میانه ارتفاع ستون انجام گرفت. در نمونه‌های فاقد الیاف، قسمت بسیار زیادی از کاور بتن کاملاً از ستون جدا شده و حتی در میانه ستون می‌توان خاموت‌های ستون‌ها را نیز مشاهده کرد.

مربوط به نمونه‌هایی با نسبت خاموت ۰/۹ است (شکل ۵.الف). در نمونه‌هایی با مقطع C شکل از دسته نمونه‌های C-S4، با افزایش کسر حجمی الیاف از٪ ۰/۰/۷۵ به٪ ۱/۲۵، مقاومت فشاری مقطع مرکب به میزان به ترتیب٪ ۰/۲ و٪ ۰/۴ افزایش می‌یابد و این افزایش در سری نمونه‌های C-S6.5 برابر٪ ۰/۳ و٪ ۰/۵ و H-S13 برابر٪ ۰/۳ و٪ ۰/۴ است. همچنین در نمونه‌هایی با مقطع H شکل از دسته نمونه‌های H-S4، با افزایش کسر حجمی الیاف از٪ ۰/۰/۷۵ به٪ ۱/۲۵، ظرفیت محوری مقطع مرکب به میزان به ترتیب٪ ۰/۲ و٪ ۰/۰/۷۵ به٪ ۱/۲۵، افزایش می‌یابد و این افزایش در سری نمونه‌های H-S6.5 برابر٪ ۰/۵ و H-S13 برابر٪ ۰/۶ و٪ ۰/۳ است (شکل ۵.ب). نتایج نشان می‌دهد که افزایش الیاف به میزان ۱/۲۵٪، در تمامی نسبت‌های خاموت مختلف، بهترین حالت برای افزایش ظرفیت محوری نمونه‌های SRFC است. به طورکلی می‌توان دریافت که افزودن الیاف به دور از بهبود رفتار فشاری و کششی بتن، اثر قابل ملاحظه‌ای روی ظرفیت محوری نمونه‌های SRFC ندارد اما می‌تواند تا سطح ۶ درصد آن را بالا ببرد. مقاومت قسمت بتنی با افزایش کسر حجمی الیاف مرتب در حال افزایش است که نشان از بهبود ویژگی‌های چسبندگی سطحی و افزایش مقاومت ماتریکس بتن با اضافه کردن الیاف و افزایش درصد آن را دارد [21].

هدف اصلی استفاده از میلگرد عرضی در ستون‌های SRFC، ایجاد محصورشدنگی بتن به منظور جلوگیری از کنده شدن بتن در اطراف پروفیل فولادی و تأمین شرایط مناسب تکیه‌گاهی برای میلگردهای طولی برای جلوگیری از کمانش میلگردها است. از طرف دیگر میلگرد عرضی می‌تواند باعث افزایش ظرفیت بشی مقطع شود. بنابراین، فاصله بین خاموت‌ها پارامتر تأثیرگذار بر ظرفیت نهایی و رفتار ستون‌ها است. همان‌گونه که پیشتر گفته شد، سه مقدار نسبت خاموت برابر با ۰/۳، ۰/۴ و ۰/۹ بهمنظور تعیین تأثیر این پارامتر بر رفتار کلی ستون در نظر گرفته شد. همان‌گونه که در شکل (۵.د) نشان داده شده است در نمونه‌هایی که در آن‌ها تنها فاصله خاموت متغیر است، با افزایش نسبت خاموت‌ها ظرفیت محوری به طرز چشمگیری کاهش می‌یابد.

[20] و هانگ و همکاران [9] است. برای مثال نتایج لای و همکاران [20] نشان داد که شکست نمونه‌ها صرف نظر از مقاومت بتن دارای الگوهای شکست یکسان است اما در صورت استفاده از الیاف فولادی در بتن الگوی شکست نمونه‌ها یکپارچه‌تر و متمایز از نمونه‌های فاقد الیاف است. همچنین، از عدم باز شدنگی یا گسیختگی خاموت‌ها در طول بارگذاری نتیجه گرفته شد که در صورت عدم امکان دستیابی به فاصله کمتر در خاموت، استفاده از میلگرد عرضی با قطر بزرگتر می‌تواند یک روش محصور کننده کار آمد باشد. از طرف مشاهدات هانگ و همکاران [9] نشان داد که فاصله زیاد در خاموت‌های ستون‌های تحت بار محوری، در نقطه پیک (نقطه تنش محوری بیشینه) بالغزش میان بخش بتنی و بخش فولادی مقطع مرکب و به دنبال آن کاهش محصورشدنگی کلی در صورت عدم استفاده از الیاف، اجزای مقطع کامپوزیتی به صورت کامل از یکدیگر جدا می‌شوند و روند شکست کامل نمونه به شدت افزایش می‌یابد. این مشاهدات بیشتر در نمونه‌های SRFC این مطالعه نیز قابل مشاهده است.

### ۲-۳- ظرفیت محوری

نتایج حاصل از آزمایش ظرفیت محوری روی کلیه نمونه‌های SRFC به طور متوسط در شکل (۵) و جدول (۳) ارائه شده است. همچنین، تأثیر پارامترهای مختلف شکل پروفیل فولادی (اعم از H شکل و C شکل)، فاصله خاموت‌ها (۰/۰/۷۵٪، ۰/۱/۲۵٪ و ۰/۲/۵٪)، روى کسر حجمی الیاف فولادی (۰/۰/۷۵٪، ۰/۱/۲۵٪ و ۰/۲/۵٪)، ظرفیت محوری نمایش داده شده است. از شکل (۵.الف) و جدول (۳)، می‌توان دریافت که به طورکلی در این مطالعه در شرایط یکسان (ستون‌هایی دارای درصد الیاف فولادی و نسبت فاصله خاموت برابر)، ستون‌هایی که دارای مقطع فولادی H شکل هستند، دارای ظرفیت باربری بیشتری نسبت به ستون‌هایی با مقطع C شکل هست که علت این امر محصورشدنگی بیشتر در نمونه‌های H شکل نسبت به C شکل است. افزایش مقدار ظرفیت محوری ستون‌های H شکل نسبت به C شکل از ۱/۵ درصد S6.5F1.25 متغیر است که بیشترین اختلاف مربوط به نمونه‌های S13F1.25 و کمترین اختلاف مربوط به نمونه‌های است. همچنین نتایج نشان می‌دهد که کمترین اختلاف در نمونه‌ها،

شکل ۵. ظرفیت محوری ستون‌های کوتاه محاط شده در بتن

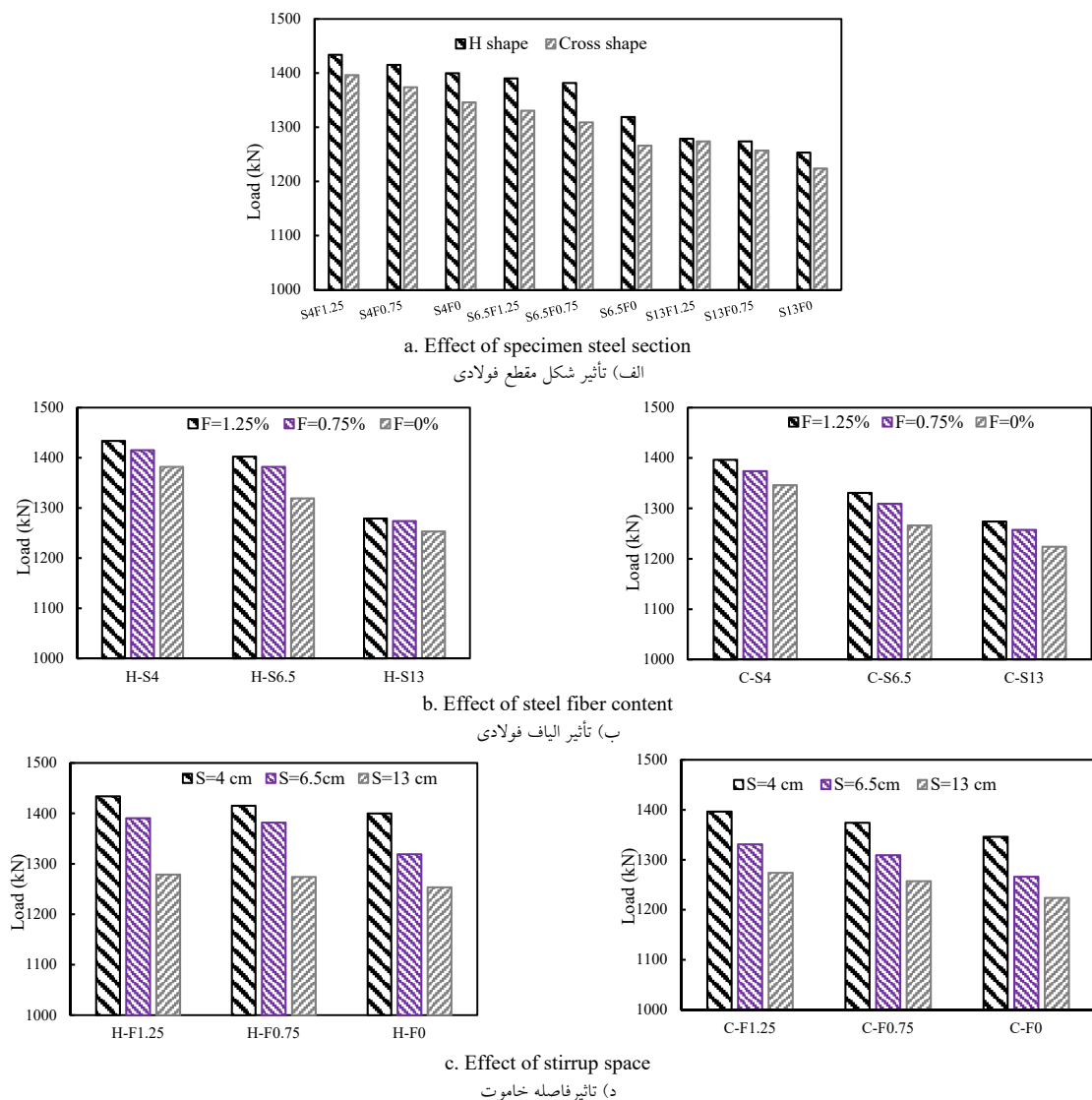


Fig. 5. Axial capacity of concrete encased steel composite stub column

ظرفیت محوری ستون‌ها در دو مقطع H شکل و در نسبت خاموت ۰/۴ (فاصله خاموت ۱۵ میلی‌متر) کاهش کمتری نسبت به مقطع C شکل دارد. به طور کلی با افزایش فاصله خاموت از ۴۰ میلی‌متر به ۱۳۰ میلی‌متر، ظرفیت محوری ستون بهشدت کاهش می‌یابد و دلیل این امر نیز کاهش قابل توجه محصور شدن فولادی بتن است.

### ۱-۲-۳- روابط تنش کرنش

نمودارهای تنش-کرنش نمونه‌های SRFC در دو راستای محوری و جانبی پس از آزمایش فشاری و ارزیابی تأثیر شکل پروفیل مقطع، تأثیر کسر حجمی الیاف فولادی و فاصل خاموت‌ها در شکل (۶) نشان داده شده است.

در افزایش نسبت خاموت، میزان کاهش ظرفیت محوری ستون‌ها در نمونه‌های H شکل و C شکل تفاوت ناچیزی با یکدیگر دارد. با افزایش نسبت خاموت از ۰/۴ به ۰/۹ (فاصله خاموت از ۴۰ میلی‌متر به ۶۵ و ۱۳۰ میلی‌متر) در نمونه‌های C-F0، ظرفیت محوری مقطع مرکب به میزان به ترتیب ۰/۶ و ۰/۹٪ کاهش می‌یابد این کاهش در سری نمونه‌های C-F1.25 و C-F0.75 نیز به ترتیب ۰/۵ و ۰/۹٪ است. همچنین برای نمونه‌های H-F0 نیز ظرفیت محوری مقطع مرکب به میزان به ترتیب ۰/۵ و ۰/۹٪ کاهش می‌یابد و این کاهش در نمونه‌های H-F1.25 و H-F0.75 نیز به ترتیب ۰/۲ و ۰/۱٪ است. همان‌گونه که از نتایج مشخص شد، کاهش

نمایش داده شده است. کرنش‌های به دست آمده، مقادیر حاصل از

میانگین‌گیری داده‌های دو عدد LVDT و

شکل ۶. تأثیر پارامترهای مختلف روی رفتار تنش-کرنش ستون‌های کوتاه محاط شده در بتون

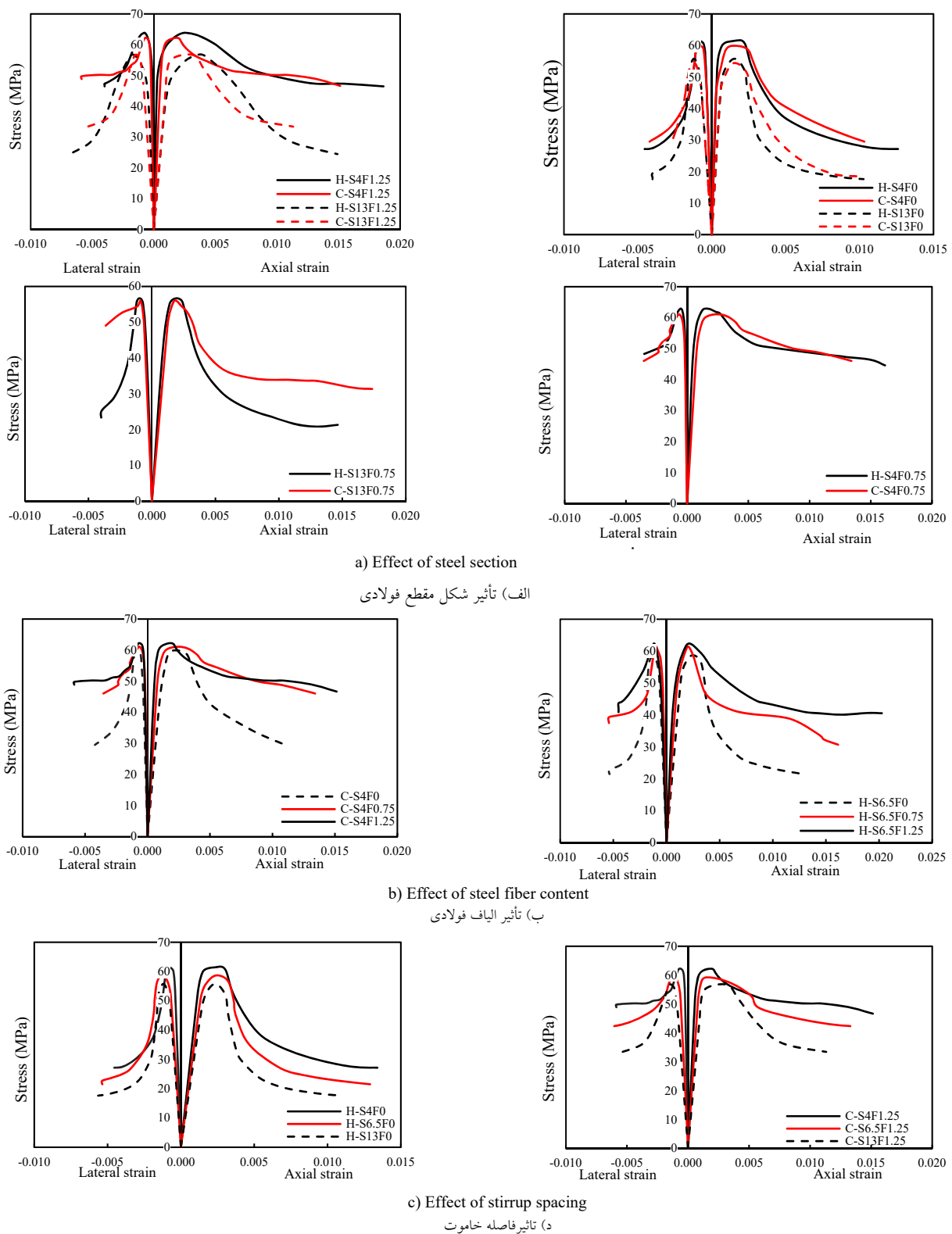


Fig. 6. Effect of various parameters on behavior of stress-strain concrete encased steel composite stub column

الیاف فولادی، استفاده از الیاف را در آنها بسیار ضروری می‌سازد.

همچنین از شکل (۶.د) می‌توان مشاهده کرد که فاصله خاموت‌ها تأثیر مستقیمی بر ظرفیت محوری نمونه‌های SRFC دارد به شکلی که با افزایش نسبت خاموت (فاصله خاموت) علاوه بر کاهش مقاومت فشاری ستون، شکل پذیری پس از نقطه اوج ستون نیز کاهش می‌یابد و این کاهش در نسبت خاموت  $\frac{9}{3}$  تا  $\frac{11}{9}$  درصد برای ستون‌های H شکل و ۹ درصد برای ستون‌های C شکل می‌رسد. دلیل این امر این است که خاموت‌ها با ایجاد تنفس حاصل از محصورشدن روی بتن، موجب بهبود عملکرد ستون تحت بار محوری می‌شود در نتیجه محصورشدن روی بتن رفتار شکل پذیرتری از خود نشان دهد.

#### ۲-۲-۳- کرنش پیک (نقطه اوج)

کرنش پیک در نمودار تنفس-کرنش، به کرنشی محوری گفته می‌شود که نمونه SRFC در نقطه بار محوری بیشینه به آن پارامتر P به عنوان نسبت کرنش پیک باقیمانده استفاده می‌شود. برای مقایسه راحت‌تر کرنش پیک در نمودارها، از نمونه‌هایی با حجم‌های مختلف الیاف فولادی به صورت رابطه

۱ تعريف می‌شود:

$$\epsilon_F = \frac{\epsilon_F}{\epsilon_{0F}} \quad (1)$$

که در آن،  $\epsilon_F$  کرنش پیک نمونه SRFC حاوی F درصد الیاف و  $\epsilon_{0F}$  کرنش پیک نمونه SRFC فاقد الیاف هست. در اینجا نمونه‌های فاقد الیاف نمونه‌های C-S6.5F0، C-S4F0 و P1.25 نمونه در دسته نمونه‌های C-S4F0، مقادیر  $P_0$ ،  $P_{0.75}$  و  $P_{1.25}$  برابر ۱،  $1/61$  و  $1/66$  و در دسته نمونه‌های H-S4F0، مقادیر  $P_0$ ،  $P_{0.75}$  و  $P_{1.25}$  برابر ۱،  $1/11$  و  $1/65$  بوده است. تمام مقادیر مربوط به کرنش پیک در تمامی نمونه‌ها در جدول (۴) آورده شده است. این روند، افزایش تغییر شکل در ناحیه قبل نقطه پیک نمونه‌ها را با افزودن الیاف فولادی به مخلوط بتن نشان می‌دهد. از آنجاکه ترک‌خوردگی در هسته بتونی قبل از نقطه پیک

دو عدد LVDT جانبی است. طبق قرارداد در این پژوهش، در قسمت مثبت محورهای افقی، کرنش‌های محوری و در قسمت منفی محورهای افقی، کرنش‌های جانبی نمایش داده می‌شود. شکل (۶) منحنی‌های تنفس-کرنش نمونه‌های ستون SRFC را نشان می‌دهد. از آنجایی که نمونه‌ها، در ابتدای بارگذاری در مرحله الاستیک قرار دارند، از این‌رو نمودار تنفس-کرنش آنها تقریباً خطی است. از منحنی‌هایی که در شکل (۶) ترسیم شده است، می‌توان مشاهده کرد که روند رفتاری کلیه نمونه‌ها به چهار مرحله مجزا تقسیم می‌شود: شاخه الاستیک، الاستو-پلاستیک، نزولی و ناحیه نرم شوندگی.

از شکل (۶.الف) می‌توان دریافت رفتار ستون‌ها در حالت معمولی (بدون حضور الیاف) در دو مقطع H شکل و C شکل مشابه یکدیگر هستند به شکلی که بعد از رسیدن به نقطه اوج در نمودار تنفس-کرنش، ستون‌ها به سرعت ظرفیت محوری خود را ازدست داده و با شبیب زیاد به سمت ناحیه شکست کامل نمونه حرکت می‌کنند. اما این روند در ستون‌های الیافی متفاوت است به شکلی که کاهش ظرفیت محوری در ستون‌های الیافی با شبیب بسیار کمتری همراه است. همچنین کاهش ظرفیت محوری در ستون‌هایی با مقطع H شکل حاوی  $1/25$  درصد الیاف کمتر از ستون‌هایی با مقطع C شکل می‌باشد که دلیل این امر نیز می‌تواند محصورشدن روی بیشتر، در مقاطع H شکل باشد. همچنین همان‌گونه که از نمودارهای شکل (۶.الف) مشخص است، شبیب در نمودارهای H شکل بیشتر از C شکل است که نشانگر سختی بیشتر این نوع ستون‌ها می‌باشد.

همان‌گونه که از نمودارهای شکل (۶.ب) مشخص است، کاربرد اصلی افزودن الیاف به مخلوط بتن در ستون‌ها و سازه‌های مهندسی برای ایجاد رفتار شکل پذیرتر در ستون‌ها، بعد از نقطه اوج است. با افزودن الیاف فولادی، شکل پذیری ستون‌ها به طرز قابل توجهی افزایش می‌یابد. بهبود رفتار ستون‌های SRFC در نقطه پیک و پس از آن، ناشی از عمل پل انداختگی الیاف فولادی بین ترک‌ها و درنتیجه بهبود عملکرد مقطع بتونی است، همان‌گونه که در منحنی‌های تنفس-کرنش بتون در شکل (۶.ب) مشاهده می‌شود. این تغییر خصلت ترد بودن بتون در اثر افزودن

$S$  و shape به ترتیب بیانگر الیاف فولادی، فاصله خاموت (نسبت خاموت) و شکل مقطع هستند. مقادیر نسبت چقرمگی باقیمانده برای کلیه نمونه‌های SRFC در جدول (۴) ارائه شده است.

با توجه به جدول (۴)، با افزایش حجم الیاف از ۰٪ به ۷۵٪ و  $T_F$  در دسته نمونه‌ها C-S4 ۲۵٪، نسبت چقرمگی باقیمانده در جدول (۴) به ۹۵٪ و در دسته نمونه‌ها H-S4 به ۹۳٪ و در دسته نمونه‌های H-۶۳٪ به ۹۶٪ می‌رسد. این نتایج نشان می‌دهد که افزودن الیاف فولادی به مخلوط بتن و افزایش حجم آن می‌تواند به طور قابل توجهی نسبت چقرمگی باقیمانده نمونه‌های SRFC ستون‌ها را بهبود ببخشد (شکل ۷.الف). که علت آن شبیه ملايم‌تر شاخه نزولی منحنی تنش-کرنش در نمونه‌های SRFC حاوی الیاف در مقایسه با نمونه متناظر فاقد الیاف است. این بهبود در نمونه‌های SRFC با الیاف ۲۵٪ درصد بسیار بیشتر است. مطابق جدول (۴) و شکل (۷.ب)، با افزایش نسبت خاموت (فاصله خاموت) بدون الیاف C-F0 به ترتیب ۹۰٪ و ۸۴٪ و F0 به ترتیب ۸۷٪ و ۸۴٪ است. نسبت چقرمگی باقیمانده در تمامی نمونه‌ها در جدول (۴) نشان داده شده است. مطابق نتایج فوق، با افزایش نسبت خاموت (فاصله خاموت) میزان نسبت چقرمگی باقیمانده  $T_S$  کاهش می‌یابد که این ناشی از کاهش قابل توجه مقاومت فشاری و همچنین شبیه تندتر در شاخه نزولی منحنی تنش-کرنش است. از طرفی همان‌گونه که بیشتر گفته شد، نمونه‌های دارای ۲۵٪ درصد الیاف فولادی همواره نسبت چقرمگی باقیمانده بالاتری نسبت به نمونه‌های مشابه بدون الیاف دارند. این نشان می‌دهد که افزایش نسبت خاموت (فاصله خاموت) همراه با افزودن الیاف فولادی به مقطع بتی می‌تواند در بهبود نسبت چقرمگی باقیمانده به شکل قابل توجهی مؤثر واقع شود. با توجه به نتایج، میزان جذب انرژی در تمامی نمونه‌ها با مقطع H شکل بیشتر از C شکل است (شکل ۷.د). علت این امر آن است که از آنجایی که میزان فولاد سازه‌ای در مقطع ستون‌های H شکل بیشتر از C شکل هست، مقاومت ستون و درنتیجه جذب انرژی آن بالاتر

شروع می‌شود، الیاف در عرض ترک مانند یک پل عمل کرده و نیروی برشی را در عرض صفحات ترک خورده منتقل می‌کند که منجر به توانایی تغییر شکل محوری بیشتر برای نمونه‌های SRFC در مرحله قبل از پیک می‌شود.

پارامتر P برای منحنی‌های ارائه شده در جدول (۴) برای نمونه‌هایی با نسبت خاموت مختلف (فاصله خاموت) به صورت رابطه ۲ تعریف می‌شود:

$$P_S = \frac{r_S}{\varepsilon_{S4}} \quad (2)$$

که در آن،  $\varepsilon_S$  کرنش پیک نمونه SRFC با نسبت خاموت (فاصله خاموت) S و  $\varepsilon_{S4}$  کرنش پیک نمونه SRFC نسبت خاموت ۳٪ (فاصله خاموت ۴۰ میلی‌متر) می‌باشد. در اینجا نمونه‌هایی با نسبت خاموت ۳٪ (فاصله خاموت ۴۰ میلی‌متر)، نمونه‌های H-S4F0، C-4F1.25، C-S4F0.75، S4F0.75 و H-S4F1.25 است. برای نمونه در دسته نمونه‌های C-S4F0، مقادیر  $P_4$ ،  $P_{13}$  برابر ۱، ۰.۷۱ و ۰.۸۶ و در دسته نمونه‌های H-S4F0، مقادیر  $P_4$ ،  $P_{13}$  برابر ۱، ۰.۹۸ و ۰.۹۶ بوده است. تمام مقادیر مربوط به کرنش پیک در تمامی نمونه‌ها در جدول (۴) آورده شده است. همچنین همان‌گونه که از شکل (۶) نیز می‌توان مشاهده کرد، منحنی تا نقطه پیک خطی است و شکل پذیری منحنی نقش اساسی در مقدار کرنش پیک ایفا می‌کند. از این‌رو نمونه با نسبت خاموت ۴٪ و ۹٪ (فاصله خاموت ۶۵ و ۱۳۰ میلی‌متر) با داشتن شکل پذیری کمتر نسبت به نمونه با نسبت خاموت ۳٪ (فاصله خاموت ۴۰٪) و نیز داشتن مقاومت فشاری کمتر، کرنش پیک کمتری به دست می‌آورد. این روند برای تمام نمونه‌های SRFC صادق است.

### ۳-۲-۳- چقرمگی

چقرمگی اعضای SRFC یکی از پارامترهای مهم سازه‌ای است که وابسته به ظرفیت تغییر شکل و مقاومت آن‌ها است. این ویژگی در اعضای سازه باعث می‌شود که در هنگام زلزله، انرژی در اثر میرایی ذاتی مواد تشکیل‌دهنده المان مستهلك شود. جذب انرژی به صورت سطح زیر نمودار تنش-کرنش محوری تا نقطه نهایی تعریف می‌شود. در شکل (۷)، محور قائم نشان‌دهنده پارامتر نسبت چقرمگی باقیمانده (T) و اندیس‌های

JGJ 138-2016 مقایسه شد. هر دو آیین نامه طراحی مقدار مشابهی را برای پیش‌بینی ظرفیت بار محوری با جمع‌بندی مقاومت فشاری هر یک از اجزای ماده انجام می‌دهند. تفاوت آیین نامه‌ها، در اعمال ضربی آن‌ها است که در هر آیین نامه متفاوت است. روابط موجود در دو آیین نامه طراحی در معادله‌های (۳) و (۴) آورده شده است.

$$\text{EN 1994-1-1} \quad P_{EC4} = 0.85 A_c f_c + A_s f_{ys} + A_r f_{yr} \quad (3)$$

$$\text{JGJ 138-2016} \quad P_{JGJ} = 0.9(A_c f_c + A_s f_{ys} + A_r f_{yr}) \quad (4)$$

که در آن  $A_c$ ،  $A_r$  و  $A_s$  به ترتیب مساحت بخش بتنی، مساحت بخش پروفیل فولادی و مساحت بخش میلگردی طولی است.

مقایسه بین نتایج آزمایشگاهی و نتایج پیش‌بینی شده در جدول (۳) آورده شده است. اگرچه مقدار  $P_{test} / P_{JGJ}$  کمی پایین‌تر از  $P_{test} / P_{EC4}$  است اما مقادیر EN 1994-1-1 و JGJ 138-2016 پیش‌بینی بسیار مشابهی ارائه می‌دهند. ظرفیت‌های تئوریک به دست آمده از آیین نامه‌ها، گاهی کمتر از ظرفیت‌های به دست آمده از نتایج آزمایشگاهی است. این امر می‌تواند به این دلیل باشد که ضربیت کاهش مقاومت برای این آیین نامه‌ها در نظر گرفته شده است.

جدول ۴. پارامترهای نمونه‌های مورد آزمایش

Specimen ID	$P_F$	$P_S$	$I_F$	$I_S$	$I_{shape}$
C-S4F0	-	-	-	-	-
C-S4F0.75	1.06	-	1.46	-	-
C-S4F1.25	1.61	-	1.93	-	-
C-S6.5F0	-	0.71	-	0.90	-
C-S6.5F0.75	1.33	0.89	1.59	0.98	-
C-S6.5F1.25	1.62	0.72	2.11	0.98	-
C-S13F0	-	0.86	-	0.84	-
C-S13F0.75	1.20	0.97	1.11	0.64	-
C-S13F1.25	1.84	0.99	1.89	0.82	-
H-S4F0	-	-	-	-	1.06
H-S4F0.75	1.11	-	1.63	-	1.19
H-S4F1.25	1.65	-	1.95	-	1.07
H-S6.5F0	-	0.98	-	0.87	1.03
H-S6.5F0.75	1.01	0.89	1.58	0.84	1.02
H-S6.5F1.25	1.16	0.69	2.11	0.94	1.03
H-S13F0	-	0.96	-	0.84	1.09
H-S13F0.75	1.11	0.96	1.46	0.77	1.23
H-S13F1.25	1.65	0.96	1.81	0.80	1.05

Table 4. Parameters of SFRC specimens

۱- ظرفیت بار محوری ستون‌های فولادی محاط شده در بتن تأثیرپذیر از شکل فولاد داخل آن است. بدین صورت که ظرفیت بار محوری ستون‌های با مقطع H شکل بیشتر از ستون‌هایی با

می‌باشد. نسبت شکل‌پذیری مقاطع H شکل به C شکل تمامی نمونه‌ها در جدول (۴) آورده شده است.

جدول ۳. مقایسه نتایج آزمایشگاهی با آیین نامه‌ها

Specimen ID	$P_{EC4}$	$P_{JGJ}$	$P_{test}$	$P_{test}/P_{EC4}$	$P_{test}/P_{JGJ}$
	(kN)	(kN)	(kN)		
C-S4F0	1271	1309	1346	1.059	1.028
C-S4F0.75	1292	1331	1374	1.064	1.032
C-S4F1.25	1309	1349	1396	1.067	1.035
C-S6.5F0	1222	1257	1266	1.036	1.007
C-S6.5F0.75	1261	1298	1309	1.039	1.008
C-S6.5F1.25	1278	1316	1331	1.042	1.011
C-S13F0	1232	1268	1224	0.994	0.966
C-S13F0.75	1283	1322	1257	0.980	0.951
C-S13F1.25	1305	1345	1274	0.976	0.947
H-S4F0	1289	1320	1382	1.072	1.047
H-S4F0.75	1316	1349	1415	1.075	1.049
H-S4F1.25	1325	1358	1434	1.082	1.056
H-S6.5F0	1256	1285	1319	1.050	1.026
H-S6.5F0.75	1315	1348	1382	1.051	1.025
H-S6.5F1.25	1334	1368	1402	1.052	1.025
H-S13F0	1264	1293	1253	0.992	0.969
H-S13F0.75	1320	1354	1274	0.965	0.941
H-S13F1.25	1336	1370	1279	0.957	0.934

Table 3. Comparison of test results with Codes.

### ۳-۳ مقایسه آیین نامه‌ای

در آیین نامه‌ها، راه حل‌های متفاوتی برای پیش‌بینی مقاومت ظرفیت باربری ستون‌های مرکب محاط شده در بتن (ستون‌های SRC) ارائه شده است. در برخی از آن‌ها اثر محصور شدنگی در ستون‌های مرکب لحاظ شده در صورتی که در برخی دیگر، از آن چشم‌پوشی شده است. در جدول (۳) مقایسه بین نتایج آزمایشگاهی این پژوهش و نتایج حاصل از پیش‌بینی برخی آیین نامه‌ها و پژوهشگران آورده شده است که در زیر هر یک از آن‌ها تشریح می‌شود.

بیشینه بار به دست آمده از منحنی تنش-کرنش با پیش‌بینی‌های تحلیلی ارائه شده در آیین نامه‌های EN 1994-1-1 و

### ۴- نتیجه‌گیری

اهمیت وجود الیاف فولادی در اعضای SFRC به دلیل بهبود برخی خواص مکانیکی سازه بسیار زیاد بوده اما به دلیل عدم وجود پژوهش کافی، کمتر استفاده شده است. در این پژوهش، رفتار فشاری ستون‌های SFRC حاوی الیاف فولادی و دارای پروفیل‌های فولادی مختلف (اعم از H و C شکل) و فاصله خاموت‌های متفاوت (۶۵، ۹۰ و ۱۳۰ میلی‌متر) مورد بررسی قرار گرفت. مهمترین نتایج حاصل از این پژوهش به صورت زیر است.

۵- در همه نمونه‌ها پیشرفت خرابی تا انتهای شکست نمونه تقریباً مشابه با یکدیگر بود؛ با این تفاوت که نمونه‌های حاوی الیاف به دلیل پیوستگی بیشتری که در ساختار بتن نسبت به نمونه‌های بدون الیاف داشتند، شکست آن‌ها بیشتر به صورت خرد شدن و جداشدن پوشش بتن فقط در ناحیه میانی ارتفاع ستون صورت گرفته درصورتی که در نمونه‌های فاقد الیاف، قسمت بسیار زیادی از پوشش بتن از ستون جدا شد.

۶- منحنی‌های تنش-کرنش محوری نمونه‌های ستون SRFC، به صورت مشابه و دارای روند خاصی چه در نمونه‌های فاقد الیاف و چه نمونه‌های الیافی بود و همگی دارای چهار مرحله مجزا شامل شاخه الاستیک، الاستو-پلاستیک، ناحیه نزولی و ناحیه نرم شوندگی بودند.

قطع C شکل می‌باشد که علت آن محصور شدنگی بیشتر در این نوع مقاطع هست.

۲- ظرفیت باربری ستون‌های SRFC با افزایش نسبت خاموت (افزایش فاصله خاموت) کاهش قابل ملاحظه‌ای یافت به گونه‌ای که با افزایش نسبت خاموت این کاهش تا ۱۱ درصد برای ستون‌های H شکل و ۹ درصد برای ستون‌های C شکل رسید.

۳- افزایش کسر حجمی الیاف موجب افزایش ظرفیت باربری ستون‌های SRFC تا ۶ درصد شد. مقدار این افزایش از شکل پروفیل‌های فولادی محاط در ستون‌ها تعیت نمی‌کند.

۴- با افزایش کسر حجمی الیاف در بتن، کرنش پیک نمونه‌های SRFC افزایش یافت، شبیه شاخه نزولی منحنی تنش-کرنش آن‌ها هموارتر شد، و شکل پذیری نمونه‌ها (به ویژه در نمونه‌های با نسبت خاموت کمتر) بهبود یافت. علاوه بر این، نسبت چقلمگی نمونه‌ها با افزودن الیاف فولادی به مخلوط بتن و افزایش حجم آن به طور قابل توجهی بهبود یافت.

شکل ۷. نسبت چقلمگی ستون‌های کوتاه محاط شده در بتن

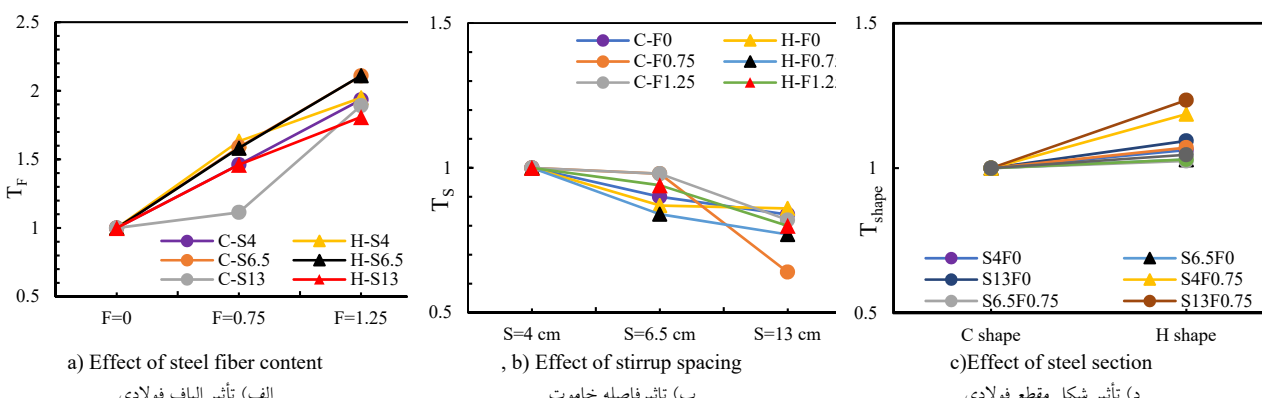


Fig. 7. Toughness ratio of concrete encased steel composite stub column

## مراجع

- [4] Nematzadeh, M., Memarzadeh, A. and Karimi, A., 2020. Post-fire elastic modulus of rubberized fiber-reinforced concrete-filled steel tubular stub columns: Experimental and theoretical study. *Journal of Constructional Steel Research*, 175, p.106310.
- [5] ANSI, A., 2005. AISC 341-05 "Seismic provisions for structural steel buildings.". American Institute of Steel Construction Inc, *American Institute of Steel Construction, Chicago, IL*.
- [1] Matsui, C., 1979. Study on elasto-plastic behaviour of concrete-encased columns subjected to eccentric axial thrust. *Annual Assembly of Architectural Institute of Japan*, pp.1627-8.
- [2] Nematzadeh, M. and Fazli, S., 2020. Effect of axial loading conditions and confinement type on concrete-steel composite behavior. *Computers and Concrete*, 25(2), pp.95-109.
- [3] Park, S., 1994. EN 1994-Eurocode 4: Design of composite steel and concrete structures.

- [15] Lau, A. and Anson, M., 2006. Effect of high temperatures on high performance steel fibre reinforced concrete. *Cement and concrete research*, 36(9), pp.1698-1707.
- [16] ASTM, C., 2003. 143: Standard test method for slump of hydraulic cement concrete. *ASTM International*.
- [17] ASTM C39/C39M, 2005. Standard test method for compressive strength of cylindrical test specimens.
- [18] Xiao, J., Huang, Y., Yang, J. and Zhang, C., 2012. Mechanical properties of confined recycled aggregate concrete under axial compression. *Construction and Building Materials*, 26(1), pp.591-603.
- [19] Yu, Q., Tao, Z. and Wu, Y.X., 2008. Experimental behaviour of high performance concrete-filled steel tubular columns. *Thin-Walled Structures*, 46(4), pp.362-370.
- [20] Lai, B., Liew, J.R., Venkateshwaran, A., Li, S. and Xiong, M., 2020. Assessment of high-strength concrete encased steel composite columns subject to axial compression. *Journal of Constructional Steel Research*, 164, p.105765.
- [21] Tao, Z., Han, L.H. and Wang, D.Y., 2007. Experimental behaviour of concrete-filled stiffened thin-walled steel tubular columns. *Thin-Walled Structures*, 45(5), pp.517-527.
- [6] Sheikh, S.A. and Uzumeri, S.M., 1982. Analytical model for concrete confinement in tied columns. *Journal of the Structural Division*, 108(12), pp.2703-2722.
- [7] Mander, J.B., Priestley, M.J. and Park, R., 1988. Theoretical stress-strain model for confined concrete. *Journal of structural engineering*, 114(8), pp.1804-1826.
- [8] Griffis, L.G., 1992. *Load and resistance factor design of W-shapes encased in concrete* (Vol. 6). American Institute of Steel Construction.
- [9] Huang, Z., Huang, X., Li, W., Zhou, Y., Sui, L. and Liew, J.Y., 2018, June. Experimental behaviour of very high-strength concrete-encased steel composite column subjected to axial compression and end moment. In *Proceedings of the 12th International Conference on Advances in Steel-Concrete Composite Structures*. ASCCS 2018 (pp. 323-329). Editorial Universitat Politècnica de València.
- [10] Li, K.W., Li, Z.Y., Wan, X. and Liu, F., 2015. Non-Linear Numerical Simulation on Hysteretic Behavior of SRC Columns. In *Applied Mechanics and Materials* (Vol. 723, pp. 382-386). Trans Tech Publications Ltd.
- [11] Zhou, X. and Liu, J., 2010. Seismic behavior and strength of tubed steel reinforced concrete (SRC) short columns. *Journal of constructional steel research*, 66(7), pp.885-896
- [12] Chen, C.C. and Lin, N.J., 2006. Analytical model for predicting axial capacity and behavior of concrete encased steel composite stub columns. *Journal of Constructional Steel Research*, 62(5), pp.424-433.
- [13] Mirza, S.A. and Skrabek, B.W., 1992. Statistical analysis of slender composite beam-column strength. *Journal of Structural Engineering*, 118(5), pp.1312-1332.
- [14] Wang, H.T. and Wang, L.C., 2013. Experimental study on static and dynamic mechanical properties of steel fiber reinforced lightweight aggregate concrete. *Construction and Building Materials*, 38, pp.1146-1151.

# Compressive performance of steel fiber-reinforced concrete-encased steel composite stub columns

Armin Memarzadeh<sup>1</sup>, Mahdi Nematzadeh<sup>2\*</sup>, Mohsen Ahmadi<sup>3</sup>

1 M.Sc. Student., Civil Eng. Dept., University of Mazandaran

2 Associate Prof., Civil Eng. Dept., University of Mazandaran

3 Assistant Prof., Civil Eng. Dept., Islamic Azad University

\* m.nematzadeh@umz.ac.ir

## Abstract

Concrete and steel are materials with extensive use in human construction activities. Concrete is a material with high stiffness which is less expensive than other available construction materials, and steel is a material with high strength and ductility. Steel-concrete composite structural systems have been utilized in the construction of high-rise buildings due to their superior structural behavior. Fibrous concrete-encased steel columns are one of the most important composite structural members in which the axial load is carried by the steel and concrete at the same time. These columns are attracting the interest of many researchers due to their excellent structural performance under both static and seismic loading conditions. The steel-concrete interaction enhances the performance when carrying monotonous and earthquake loading. Reinforcing steel fibers help control crack propagation and prevent brittle failure in concrete through improving aggregate interlocking and thus enhance the properties of concrete including the tensile strength and ductility. This paper aims to investigate the axial capacity of fibrous concrete-encased steel composite stub columns. A total of 36 specimens with different cross-sectional shapes of steel profiles, including H-shaped and C-shaped, were tested, and axial parameters and compressive behavior were investigated. The variables of the research included the shape of the steel profile (H-shaped and C-shaped), steel fiber volume ratio (0%, 0.75%, and 1.25%), and the stirrup spacing (40, 65, and 130 mm). The results showed that the loading capacity of fibrous concrete-encased steel columns was affected by the shape of the steel profile inside. In this regard, the use of the H-shaped steel profile in the columns led to a higher axial loading capacity than the use of the C-shaped steel profile, due to greater confinement provided by concrete in columns with this section type (H-shape). Moreover, the addition of fibers significantly increased the ductility of these columns in comparison with those without fibers, and also, the addition of fibers increased the axial capacity of the steel-concrete composite columns by 6%. On the other hand, given the results, it is found that the stirrup spacing had a considerable effect on the load-carrying capacity of these columns, in that by increasing the stirrup spacing, due to the lower confinement of the column, the axial load-carrying capacity declined. In this regard, as the stirrup spacing increased, the decline in this parameter reached up to 11% for the columns with the H-shaped profile and 9% for the columns with the C-shaped profiles. Furthermore, the results of this study showed that the specimen with the H-shaped steel sections, 1.25% fibers, and the stirrup spacing of 40 mm generally were the optimal specimens in terms of the axial load-carrying capacity and ductility in comparison with the other specimens under study. All the specimens had almost similar damage patterns up to their failure. The difference was that the specimens containing fibers experienced failure mainly in the form of the crushing of concrete cover and its breakage from the middle of the column height, due to greater integrity of the concrete structure in these specimens. However, in the specimens without fibers, a considerable portion of the concrete cover was completely detached from the column.

**Keywords:** Composite Steel-Concrete Columns, Confinement, Steel Reinforced Concrete, Axial load-carrying capacity, Fibrous concrete, Ductility